

Assessment of Distinct Environmental Conditions and Planting Dates on the Yield and Water Productivity of Forage Maize in Selected Regions of Isfahan Province (A Modeling Approach)

Maryam Saremi, Mahdi Gheysari*^{id}, Mohamad Shayan Nejad and Fahime Mohamadzade

Department of Irrigation, College of Agriculture, Isfahan University of Technology, Isfahan, Iran

* Corresponding author, Email: gheysari@cc.iut.ac.ir

Abstract

Background and Objective: Given declining water resources in Iran, particularly in Isfahan Province, assessing forage maize production potential and water productivity—despite its relatively high water requirement but strategic importance—has become essential. This study aimed to determine the optimal planting date and to evaluate yield potential and water productivity across different regions of Isfahan.

Methods: Maize growth was simulated for 18 planting dates using 13 years of climatic data and the CERES-Maize model for 20 calibrated hybrids across dominant soil texture classes. After selecting optimal planting date for nine selected stations, production potential and water productivity were assessed for two calibrated hybrids (SC606 and SC704) using detailed soil profile data.

Results: Climatic analysis indicated that eastern stations had potential yields below the provincial average. The combined effects of climate and soil texture revealed that the highest yield was occurred in Daran (26.2 ton ha^{-1}) for SC606, while the lowest was obtained in Zarrin-Shahr (17.2 ton ha^{-1}) for SC704. Dry biomass water productivity ranged from 3.75 to 5.55 kg m^{-3} .

Conclusion: The western regions of the province, due to their higher elevation, greater solar radiation, and favorable temperatures, exhibited the highest production and water productivity. Conversely, poorer water and soil quality in the central and eastern regions substantially reduced yield and water productivity. Accordingly, the western parts were identified as suitable areas for forage maize production because of favorable climatic conditions and the absence of soil salinity constraints. Furthermore, the simulation results indicated that planting date has a significant effect on maize yield and water productivity. In the suitable regions of the province, planting from late May to late July (depending on the hybrid), not only enhance yield and water productivity, but can also reduce the risk of late-season cold stress.

Keywords: DSSAT software package, Water management, Water use efficiency, Zayandeh-Rud.

بررسی برخی شرایط محیطی و تاریخ کاشت بر عملکرد و بهره‌وری آب ذرت علوفه‌ای در برخی مناطق استان اصفهان (با رویکرد مدل‌سازی)

مریم صارمی، مهدی قیصری، محمد شایان‌نژاد و فهیمه محمدزاده

گروه مهندسی آب، دانشکده کشاورزی، دانشگاه صنعتی اصفهان
* نویسنده مسئول، پست الکترونیکی: gheysari@cc.iut.ac.ir

چکیده

پیشینه پژوهش و هدف: با توجه به کاهش منابع آب در نواحی مرکزی ایران، به‌ویژه استان اصفهان، بررسی پتانسیل تولید و بهره‌وری آب ذرت علوفه‌ای، به‌عنوان محصولی با نیاز آبی نسبتاً بالا اما دارای اهمیت استراتژیک ضرورت دارد. این پژوهش با هدف تعیین بازه تاریخ کاشت بهینه ذرت و ارزیابی پتانسیل عملکرد و بهره‌وری آب، در نقاط مختلف استان اصفهان انجام شد.

روش‌ها: ابتدا کشت ذرت در ۱۸ تاریخ کشت با استفاده از داده‌های اقلیمی ۱۳ ساله و مدل CERES-Maize، برای ۲۰ هیبرید واسنجی شده در کلاس‌های بافت خاک شاخص استان شبیه‌سازی شد. پس از تعیین تاریخ کشت بهینه در ۹ ایستگاه منتخب، پتانسیل تولید و بهره‌وری آب دو هیبرید رایج و واسنجی شده SC606 و SC704 با استفاده از اطلاعات دقیق خاک‌رخ تعیین شد.

نتایج: بررسی اثر آب‌وهوا نشان داد ایستگاه‌های شرقی عملکرد پتانسیل کمتر از میانگین استان دارند. بررسی اثر آب‌وهوا و بافت خاک نشان داد بیشترین عملکرد در داران (۲۶/۲ تن در هکتار) برای هیبرید SC606 و کمترین عملکرد در زرین‌شهر (۱۷/۲ تن در هکتار) برای هیبرید SC704 به‌دست آمد. همچنین بهره‌وری آب زیست‌توده خشک بین ۳/۷۵ تا ۵/۵۵ کیلوگرم بر مترمکعب متغیر بود.

نتیجه‌گیری کلی: مناطق غربی استان به‌دلیل مرتفع بودن، تشعشع بیشتر و دمای مناسب، بیشترین تولید ذرت علوفه‌ای و بهره‌وری آب را داشتند. درحالی‌که کاهش کیفیت آب و خاک در مناطق مرکزی و شرقی موجب کاهش قابل‌توجه عملکرد و بهره‌وری آب ذرت شد. ازاین‌رو مناطق غربی به‌دلیل شرایط اقلیمی مناسب و نبود محدودیت شوری خاک، به‌عنوان نواحی مستعد تولید ذرت علوفه‌ای شناسایی شدند. همچنین نتایج شبیه‌سازی نشان داد تاریخ کشت تأثیر قابل‌توجهی بر عملکرد و بهره‌وری آب ذرت علوفه‌ای دارد؛ به‌طوری‌که در مناطق مستعد استان، کشت از اواخر اردیبهشت تا اواخر تیر (متناسب با هیبرید)، علاوه بر افزایش عملکرد و بهره‌وری آب، می‌تواند احتمال مواجهه با سرمای انتهایی فصل رشد را نیز کاهش دهد.

واژه‌های کلیدی: بسته نرم‌افزاری DSSAT، زاینده‌رود، کارایی مصرف آب، مدیریت آب.

مقدمه

در ایران، ذرت در تمامی ۳۱ استان کشور کشت می‌شود و با توجه به نقش راهبردی آن، میزان تولید و مصرف این محصول در دهه‌های اخیر افزایش یافته است. به طوری که بر اساس آخرین آمارنامه کشاورزی، ذرت علوفه‌ای در سال زراعی ۱۴۰۲-۱۴۰۱ با ۱۳/۵۱ میلیون تن تولید، بیشترین میزان تولید را در بین محصولات زراعی آبی به خود اختصاص داده است (Ministry of Agriculture Jihad, 2024).

کشاورزی بزرگ‌ترین مصرف‌کننده آب در کشور است و افزایش نیاز غذایی ناشی از رشد جمعیت، فشار بر منابع آبی این بخش را تشدید کرده است (Ahmadede et al., 2021). یکی از راهکارهای اجرایی، تولید محصولات کشاورزی با بیشترین بهره‌وری آب (افزایش تولید به ازای هر واحد آب مصرفی) و شناسایی مناطق مستعد برای کشت هر محصول است. تعیین پتانسیل تولید محصولات کشاورزی در شرایط مختلف اقلیمی، خاکی، تاریخ‌های کاشت و ارقام گوناگون از راه انجام آزمایش‌های میدانی، فرآیندی پرهزینه و زمان‌بر است و نتایج آن به دلیل محدودیت‌های مکانی و زمانی، از قابلیت تعمیم گسترده برخوردار نیست. در چنین شرایطی، استفاده از مدل‌های شبیه‌سازی گیاهی معتبر که به درستی واسنجی و ارزیابی شده‌اند، ابزاری کارآمد برای بررسی سناریوهای مدیریتی، برنامه‌ریزی و بهبود تصمیم‌گیری محسوب می‌شود (Ritchie, 1998). این مدل‌ها قادرند اثر نوسانات کوتاه‌مدت و بلندمدت آب‌وهوا، ویژگی‌های خاک و شیوه‌های مدیریتی را بر تعادل آب خاک، پویایی عناصر غذایی، رشد و عملکرد محصول شبیه‌سازی کنند (Jha et al., 2021). برخی مدل‌های تجربی مانند ماس و هافمن، و ون‌گنوختن و هافمن نیز توانایی تخمین عملکرد گیاه بر مبنای شوری آب آبیاری را دارند (Noroozi et al., 2023).

در میان سامانه‌ها و بسته‌های نرم‌افزاری مدل‌سازی رشد گیاهان مانند APSIM، CropSyst، AquaCrop و بسته نرم‌افزاری DSSAT به‌عنوان سامانه پشتیبانی تصمیم‌گیری در انتقال فناوری

کشاورزی^۱، سابقه‌ای بیش از چهار دهه در پژوهش‌های جهانی دارد (Hoogenboom et al., 2019a; Hoogenboom et al., 2019b) و برای بیش از ۳۵ گیاه توسعه یافته است. وجود بانک اطلاعاتی آب‌وهوا، خاک، ژنتیک گیاهی، و داده‌های مدیریتی مختلف، این بسته نرم‌افزاری را به یکی از کامل‌ترین ابزارهای مدل‌سازی تبدیل کرده است. از رایج‌ترین مدل‌های موجود در بسته نرم‌افزاری DSSAT، مدل‌های گروه CERES² بوده که توانایی شبیه‌سازی رشد، نمو و عملکرد غلات را دارند (Hoogenboom et al., 1994). مدل CERES-Maize مدل اختصاصی ذرت است که شبیه‌سازی روزانه رشد گیاه را در واکنش به شرایط آب‌وهوایی، محیطی و مدیریتی انجام می‌دهد (Hammad et al., 2018).

انتخاب تاریخ کشت مناسب یکی از عوامل مؤثر در بهبود عملکرد دانه و علوفه ذرت به شمار می‌رود (Maresma et al., 2019). در تحقیق Ahmad et al. (2016) در پاکستان، میانگین بیشینه عملکرد علوفه و دانه با استفاده از مدل CSM-CERES برای ذرت در تاریخ کشت ۱۰ ژوئیه به دست آمد. Adnan et al. (2017) در شمال نیجریه با بهره‌گیری از مدل CERES-Maize نشان دادند که در ناحیه ساوانای سودان، کشت هیبرید بسیار زودرس ذرت در اواخر ژوئیه و کشت هیبرید زودرس ذرت در میانه ژوئیه بالاترین عملکرد دانه را ایجاد می‌کند. Rugira et al. (2021) با بهره‌گیری از مدل DSSAT-CERES Maize در شمال چین گزارش کردند که مناسب‌ترین بازه زمانی کاشت جهت افزایش تولید و کارایی مصرف آب، دوره ۱۵ تا ۲۵ می است. Mozaffari (2015) با هدف بهبود بهره‌وری آب برای تولید ذرت در دشت میان‌دوآب، پژوهشی با استفاده از مدل DSSAT انجام داد. بر اساس نتایج این تحقیق، تاریخ کشت ۱۵ خرداد همراه با ۵۰ درصد تخلیه مجاز رطوبتی و کاربرد ۳۰۰ کیلوگرم اوره در هکتار، بهترین عملکرد را از نظر بهره‌وری آب دارد.

علاوه بر تاریخ کشت، اقلیم و موقعیت مکانی از عوامل مؤثر بر رشد و عملکرد گیاهان زراعی است. تطبیق فنولوژی با شرایط

2- Crop estimation through resource and environment synthesis

1- Decisions support system for agrotechnology transfer

۱. تعیین مناطق مستعد کشت ذرت علوفه‌ای در نقاط مختلف استان تحت تأثیر تفاوت‌های اقلیمی
۲. تعیین تاریخ کشت بهینه ذرت علوفه‌ای و ارزیابی پتانسیل تولید و بهره‌وری آب در استان تحت تأثیر تفاوت‌های اقلیمی و خاک‌رخ‌ها
۳. بررسی اثر واقعی شوری آب آبیاری بر عملکرد و بهره‌وری آب در دو هیبرید رایج SC606 و SC704

مواد و روش‌ها

- منطقه مورد بررسی

محدوده مورد بررسی در این پژوهش، استان اصفهان با وسعت حدود ۱۰۷ هزار کیلومتر مربع در بخش میانی فلات مرکزی ایران است که در مختصات $38^{\circ} 49'$ تا $32^{\circ} 55'$ طول شرقی و $33^{\circ} 53'$ تا $27^{\circ} 34'$ عرض شمالی و میانگین ارتفاع برابر ۱۵۵۰ متر از سطح دریا واقع شده است. این استان دارای تنوع اقلیمی از فراهشک تا مرطوب بوده و بخش عمده حوضه آبریز زاینده‌رود را دربرمی‌گیرد (Gohari et al., 2013; Soltani et al., 2012). به‌منظور شبیه‌سازی رشد گیاه ذرت در استان اصفهان، از مدل CERES-Maize استفاده شد. در ادامه داده‌ها و اطلاعات مورد نیاز مدل ارائه شده‌اند.

- اطلاعات ورودی به بسته نرم‌افزاری DSSAT

اطلاعات هواشناسی: بر اساس داده‌های دریافت‌شده از سازمان هواشناسی کشور، ۲۱ ایستگاه هواشناسی استان اصفهان با توجه به سه معیار کامل و پیوسته بودن داده‌ها در دوره آماری مشترک، پراکنش مناسب مکانی برای پوشش تنوع اقلیمی و اختلافات ارتفاعی استان، و قرارگیری در داخل یا مجاورت مناطق عمده کشاورزی و کشت ذرت، به‌عنوان نماینده مزارع کل استان انتخاب شدند (شکل ۱). بررسی آمار هواشناسی کشور (۱۳۹۹-۱۳۸۵) و

زیستی و غیرزیستی پیش‌نیاز سازگاری ژنوتیپ با محیط است؛ موضوعی که در شرایط تغییرات اقلیمی اهمیت بیشتری پیدا می‌کند. نتایج پژوهش (Prevey et al., 2017) با بررسی ۴۷ گونه گیاهی نشان داد که حساسیت فنولوژیکی گیاه به دما، به‌ویژه در زمان برگ‌دهی و آغاز گلدهی، در نواحی سردتر با عرض جغرافیایی بالاتر بیشتر از مناطق گرم‌تر بوده است. در تحقیق (Norooz-Valashedi and Bararkhanpour Ahmadi, 2026) نیز افزایش دما سبب جابجایی در زمان شکوفه‌دهی محصولات زراعی از جمله برنج و کلزا شد. (Xiao et al., 2021) ارتباط مثبتی بین طول دوره رشد ذرت، برنج و سویا با بارش تجمعی و ساعات آفتابی تجمعی یافتند. نتایج تحلیل حساسیت مدل CERES-Maize در پیش‌بینی عملکرد ذرت نشان داد که حساسیت گیاه نسبت به تغییرات تابش روزانه بیشتر از تغییرات ویژگی‌های خاک است (Bert et al., 2007).

استان اصفهان به‌عنوان یکی از قطب‌های مهم تولید محصولات دامی، در جایگاه پنجم تولیدکنندگان ذرت علوفه‌ای کشور قرار دارد (Ministry of Agriculture Jihad, 2024). تشدید تنش‌های آبی در اصفهان از یک‌سو و لزوم صیانت از سرمایه‌های بخش کشاورزی و دامپروری از سوی دیگر، دو چالش هم‌زمان و دارای اهمیت‌اند که همواره توجه مدیران، سیاست‌گذاران و پژوهشگران را به خود جلب کرده است. اگرچه پژوهش‌های متعددی اثر تاریخ کاشت و اقلیم بر عملکرد و بهره‌وری آب را در مناطق مختلف جهان بررسی کرده‌اند، اما آنچه تحقیق حاضر را از تحقیقات پیشین متمایز می‌سازد، تلفیق هم‌زمان سه عامل اقلیم، خاک‌رخ و شوری واقعی آب در چارچوب CERES-Maize، تعیین تاریخ کاشت بهینه و پتانسیل تولید به‌صورت منطقه‌بندی‌شده برای کل استان، و کمی‌سازی اثر شوری واقعی آب بر عملکرد و بهره‌وری آب آبیاری در دو سامانه بارانی و قطره‌ای است. بنابراین این پژوهش بر پایه نتایج آزمایش‌های مزرعه‌ای و با بهره‌گیری از بسته نرم‌افزاری DSSAT، در راستای دستیابی به اهداف زیر انجام شد.

جدول ۱. اطلاعات سه گروه بافت خاک به عنوان نماینده کلاس‌های بافت خاک در استان اصفهان (مرکز تحقیقات کشاورزی و منابع طبیعی اصفهان، ۲۰۱۸)

Table 1. Properties of three soil texture groups representing the dominant soil texture classes in Isfahan province (Isfahan Agricultural and Natural Resources Research Center, 2018)

سیلت (%)	رس (%)	ماده آلی (%)	عمق (سانتی‌متر)	کلاس بافت خاک
Silt (%)	Clay (%)	Organic matter (%)	Depth (cm)	Soil texture class
۳۵/۰ ± ۸/۴	۳۱/۵ ± ۶/۹	۰/۵ ± ۰/۳	۰-۳۰	Clay loam
۳۳/۰ ± ۹/۲	۳۵/۵ ± ۸/۳	۰/۷ ± ۰/۱	۳۰-۱۰۰	
۳۹/۰ ± ۶/۹	۲۱/۰ ± ۴/۸	۰/۴ ± ۰/۲	۰-۳۰	Loam
۴۲/۵ ± ۷/۳	۲۴/۰ ± ۳/۲	۰/۴ ± ۰/۱	۳۰-۱۰۰	
۳۰/۰ ± ۷/۰	۱۰/۰ ± ۷/۴	۰/۲ ± ۰/۱	۰-۳۰	Sandy loam
۲۷/۰ ± ۷/۹	۱۰/۵ ± ۲/۲	۰/۲ ± ۰/۱	۳۰-۱۰۰	

اعداد به صورت میانگین ± انحراف معیار گزارش شده‌اند.
Data are reported as mean ± standard deviation (SD).

مناطق مستعد کشت ذرت، ۲۰ هیبرید ذرت (از ارقام پیش فرض مدل و نتایج تحقیقات) که در عرض جغرافیایی ۳۰ تا ۴۰ درجه شمالی (منطبق با عرض جغرافیایی ایران) بررسی شده بودند و ضرایب ژنتیکی آن‌ها برای مدل CERES-Maize استخراج شده بود، بدون انجام واسنجی مجدد، انتخاب و وارد فایل ژنتیکی مدل شد (Mohamadzade, 2022). در گام دوم و به منظور بررسی همزمان اثر آب و هوا و بافت خاک بر پتانسیل عملکرد ذرت در ۹ ایستگاه هواشناسی منتخب (مناطق مستعد کشت ذرت حاصل از مرحله اول)، دو هیبرید رایج واسنجی شده در اصفهان، SC704 و SC606 به کار گرفته شد. فرایند واسنجی مدل CERES-Maize برای تعیین ضرایب ژنتیکی این دو هیبرید و همچنین اعتبارسنجی مدل، با استفاده از داده‌های به دست آمده از پژوهش‌های میدانی انجام شده در مزارع استان اصفهان طی سال‌های ۱۳۹۵ تا ۱۳۹۸، پیش‌تر انجام شده است (Mohamadzade et al., 2022).

اطلاعات کشت: برای ارزیابی اثر تاریخ کشت بر عملکرد ذرت در ایستگاه‌های هواشناسی مورد بررسی، ۲۰ تاریخ کشت با فواصل زمانی ۱۰ روزه به گونه‌ای انتخاب شد که بازه زمانی رایج کشت در استان اصفهان را به طور کامل پوشش دهد. این تاریخ‌ها از ۲۹ بهمن تا ۵ شهریور در نظر گرفته شد (جدول ۳) و با

اطلاعات خاک: با هدف بررسی اثر آب و هوا بر تولید ذرت در سطح استان، در گام نخست مدل‌سازی با فرض ثابت بودن بافت خاک انجام شد. بدین منظور اطلاعات بافت خاک (درصد شن، سیلت و رس در لایه‌های مختلف) برای نقاط مختلف استان اصفهان از مرکز تحقیقات کشاورزی و منابع طبیعی اصفهان (۲۰۱۸) تهیه شد. سپس این اطلاعات در سه گروه کلی شامل ریزبافت، میان‌بافت و درشت‌بافت دسته‌بندی شده و سه بافت متفاوت از نظر درصد ذرات استخراج شد و به عنوان نماینده کلی مناطق مختلف در نظر گرفته شد (جدول ۱). در گام دوم، به منظور ارزیابی همزمان اثر آب و هوا و بافت خاک بر عملکرد ذرت، شبیه‌سازی‌ها برای ۹ ایستگاه منتخب که در مرحله اول دارای پتانسیل تولید بیشتری بودند انجام شد. در این مرحله، اطلاعات واقعی خاک‌رخ‌ها (ویژگی‌های فیزیکی لایه‌های مختلف خاک‌رخ) در محدوده ایستگاه‌های هواشناسی از سازمان جهاد کشاورزی استان اصفهان (۲۰۲۱) تهیه شد و با استفاده از ابزار SBUILD به عنوان خاک‌رخ اختصاصی هر ایستگاه وارد مدل شد (جدول ۲).

اطلاعات هیبریدهای ذرت: در گام نخست برای بررسی اثر آب و هوا بر پتانسیل عملکرد ذرت در سطح استان و شناسایی

جدول ۲. اطلاعات خاک‌رخ‌ها در محدوده ایستگاه‌های هواشناسی (سازمان جهاد کشاورزی استان اصفهان، ۲۰۲۱)

Table 2. Soil profiles information within the meteorological station areas (Agricultural Jihad Organization of Isfahan Province, 2021)

ماده آلی (%)	pH	بافت خاک	سنگریزه (%)	سیلت (%)	رس (%)	ایستگاه هواشناسی
Organic matter (%)	pH	Soil texture	Gravel (%)	Silt (%)	Clay (%)	meteorological station
۰/۵ ± ۰/۲	۷/۷ ± ۰/۲	SCL, L, SiL	۱۸/۰ ± ۸/۴	۳۴/۹ ± ۱۱/۱	۳۵/۷ ± ۷/۱	فريدون شهر (FR)
۰/۵ ± ۰/۳	۷/۸ ± ۰/۲	SCL, CL, SiCL, SiL, C	۱۷ ± ۱۶/۶	۳۶/۸ ± ۱۱/۱	۳۶/۵ ± ۶/۳	داران (DN)
۰/۴ ± ۰/۲	۷/۷ ± ۰/۲	SCL, SiCL, L	۱۸/۷ ± ۷/۸	۴۰/۵ ± ۱۰/۶	۳۴/۶ ± ۷/۸	چادگان (CN)
۰/۴ ± ۰/۴	۸/۰ ± ۰/۰۷	L, CL	۲۲/۴ ± ۱۳/۲	۳۳/۱ ± ۶/۹	۳۱/۹ ± ۳/۹	خوانسار (KR)
۰/۲ ± ۰/۴	۷/۷ ± ۰/۱	SL	۴۵/۲ ± ۱۱/۸	۲۲/۰ ± ۷/۰	۲۰/۷ ± ۴/۷	میمه (ME)
۰/۴ ± ۰/۳	۸/۴ ± ۰/۴	L, CL, SiCL, SiL, C, LS, SL, SCL	۸۷ ± ۱۵/۲	۳۸/۶ ± ۱۲/۰	۳۳/۱ ± ۱۳/۵	گلپایگان (GN)
۰/۴ ± ۰/۲	۸/۱ ± ۰/۲	SiCL, C, CL, SCL, L	۲/۱ ± ۴/۵	۳۷/۲ ± ۶/۹	۲۸/۳ ± ۱۱/۲	کبوترآباد (KD)
۰/۳ ± ۰/۴	۷/۹ ± ۰/۲	SL, SCL, SiC, L, C	۱۰/۲ ± ۱۷/۲	۳۶/۵ ± ۹/۹	۳۳/۳ ± ۸/۹	زرین شهر (ZR)
۰/۳ ± ۰/۲	۷/۹ ± ۰/۱	CL, SCL	۱۳/۷ ± ۱۳/۱	۳۱/۱ ± ۱۱/۷	۳۳/۵ ± ۷/۵	نجف‌آباد (ND)

اعداد به صورت میانگین ± انحراف معیار گزارش شده‌اند.
Data are reported as mean ± standard deviation (SD).

جدول ۳. سناریوهای تاریخ کشت

Table 3. Planting date scenarios

روز ژولیوسی	تاریخ	روز ژولیوسی	تاریخ	روز ژولیوسی	تاریخ	روز ژولیوسی	تاریخ
Julian day	Date	Julian day	Date	Julian day	Date	Julian day	Date
	۲۷ تیر		۸ خرداد		۲۰ فروردین		۲۹ بهمن
۲۰۰	18-Jul	۱۵۰	29-May	۱۰۰	9-Apr	۵۰	18-Feb
	۶ مرداد		۱۸		۳۰ فروردین		۹ اسفند
۲۱۰	28-Jul	۱۴۰	8-Jun	۱۱۰	19-Apr	۶۰	28-Feb
	۱۶ مرداد		۲۸		۹ اردیبهشت		۱۹ اسفند
۲۲۰	7-Aug	۱۷۰	18-Jun	۱۲۰	29-Apr	۷۰	10-Mar
	۲۶ مرداد		۷ تیر		۱۹		۲۹ اسفند
۲۳۰	17-Aug	۱۸۰	28-Jun	۱۳۰	9-May	۸۰	20-Mar
	۵		۱۷ تیر		۲۹		۱۰ فروردین
۲۴۰	27-Aug	۱۹۰	8-Jul	۱۴۰	19-May	۹۰	30-Mar

- مدل‌سازی رشد و نمو گیاهی

شبیه‌سازی تحت شرایط مختلف آب‌وهوایی: در این بخش، برای دستیابی به دید کلی از پتانسیل عملکرد ذرت در سطح استان، تحت تاثیر آب‌وهوا، مدل برای ۲۱ ایستگاه هواشناسی، ۲۰ رقم ذرت، ۱۸ تاریخ کاشت و سه بافت خاک رایج در استان

استفاده از ابزار XBuild در مدل تعریف گردید. علاوه بر تاریخ کاشت اطلاعاتی از قبیل روش کاشت، توزیع بوته‌ها در ردیف، تراکم بوته، فاصله ردیف‌ها، جهت ردیف‌ها نسبت به شمال و عمق کاشت، بر اساس داده‌های میدانی دریافت شده از کشاورزان محلی و عرف رایج در منطقه وارد مدل شد.

$$RWPI = \frac{\text{Max}(WPI)_i}{\sum_i^n \text{Max}(WPI)_i / n} \quad (6)$$

$$\text{Range} = \frac{\text{Max}(WPC)_i - \text{Min}(WPC)}{\sum_i^n \text{Max}(WPC)_i / n} \quad (7)$$

که در این روابط، RTB^6 نسبت وزن زیست توده، RMY^7 نسبت وزن عملکرد دانه، RWP_C^8 نسبت بهره‌وری آب، RWP_I^9 نسبت بهره‌وری آب آبیاری، Range دامنه تغییرات و n تعداد ایستگاه‌ها است.

شبیه‌سازی تحت ترکیب شرایط آب‌وهوا و بافت خاک: در این بخش، به منظور ارزیابی همزمان اثر آب‌وهوا و بافت خاک بر پتانسیل تولید و بهره‌وری آب ذرت، مدل برای ۹ ایستگاه هواشناسی منتخب (مناطق مستعد کشت ذرت که در مرحله قبل بر اساس شاخص‌های RTB ، RMY ، $RWPC$ و $RWPI$ بیشترین پتانسیل تولید را داشتند) اجرا شد. بدین منظور دو هیبرید واسنجی شده ذرت (میان‌رس SC606 و دیررس SC704)، اطلاعات واقعی خاک‌رخ و ۱۸ تاریخ کشت، با استفاده از ابزار XBuild در مدل تعریف شد و ترکیب‌های مختلف تیماری تحت شرایط پتانسیل (آبیاری و کوددهی اتوماتیک) شبیه‌سازی گردید. پس از اجرای مدل، شاخص‌های زیست توده، بهره‌وری آب و بهره‌وری آب آبیاری برای تیمارهای مختلف در هر ایستگاه استخراج و تعیین گردید. تعیین بازه بهینه تاریخ کشت هر ایستگاه، بر اساس آزمون T-test در سطح خطای ۵ درصد و با استفاده از بیشینه شاخص‌های مذکور انجام شد. بدین صورت که ابتدا تاریخ کشت با بیشینه مقدار شاخص‌ها تعیین گردید، سپس تاریخ‌های کشتی که مقادیر شاخص‌های آنها از نظر آماری اختلاف معنی‌داری با بیشینه مقدار نداشتند، به‌عنوان بازه تاریخ کشت بهینه تعیین شدند. در نهایت نتایج به‌صورت تقویم کشت همرا با مقادیر متناظر تولید و بهره‌وری، برای دو هیبرید SC606 و SC704 استخراج گردید.

شبیه‌سازی تحت ترکیب شرایط آب‌وهوا، بافت خاک و شوری

اصفهان اجرا شد. بدین منظور در هر ایستگاه، با استفاده از ابزار XBuild فایل هواشناسی و خاک فراخوانی شد و با ورود مشخصات رقم و اطلاعات مدیریت زراعی شامل تاریخ کاشت، تیمارهای مختلف در محیط DSSAT تعریف گردید. به‌منظور برآورد پتانسیل تولید، مدل تحت سناریوی آبیاری و کوددهی اتوماتیک اجرا گردید. در حالت اتوماتیک، تأمین آب و نیتروژن بدون محدودیت و در زمان نیاز گیاه صورت می‌گیرد. پس از اجرای مدل، مقادیر عملکرد زیست توده و عملکرد دانه از فایل PlantGro.OUT و مقادیر تبخیر-تعرق واقعی و عمق آب آبیاری از فایل ET.OUT استخراج شد. این مقادیر بدون هیچ‌گونه تغییری برای محاسبه بهره‌وری آب (WPC^4 , $kg\ m^{-3}$) و بهره‌وری آب آبیاری (WPI^5 , $kg\ m^{-3}$) استفاده شدند (روابط ۱ و ۲) (Fernández et al., 2020).

$$WPC = \frac{Y}{ETa} \quad (1)$$

$$WPI = \frac{Y}{dg} \quad (2)$$

که در این روابط، Y عملکرد قابل فروش محصول ($kg\ ha^{-1}$)، ETa تبخیر-تعرق واقعی تجمعی ($m^3\ ha^{-1}$) و dg عمق آب آبیاری تجمعی ($m^3\ ha^{-1}$) شبیه‌سازی شده است.

در نهایت بیشینه مقدار شبیه‌سازی شده در بین تیمارهای اجرا شده برای هر ایستگاه، بر اساس روابط ۳ تا ۷ با سایر ایستگاه‌ها مقایسه و ارزیابی شد. این شاخص‌ها امکان شناسایی مناطق مستعد کشت ذرت در سطح استان را فراهم کردند.

$$RTB = \frac{\text{Max}(TB)_i}{\sum_i^n \text{Max}(TB)_i / n} \quad (3)$$

$$RMY = \frac{\text{Max}(MY)_i}{\sum_i^n \text{Max}(MY)_i / n} \quad (4)$$

$$RWPC = \frac{\text{Max}(WPC)_i}{\sum_i^n \text{Max}(WPC)_i / n} \quad (5)$$

7- Ratio of Grain yield

8- Ratio of Crop Water Productivity

9- Ratio of Irrigation Water Productivity

4- Crop water productivity

5- Irrigation water productivity

6- Ratio of Total Biomass

LR_{dr} نیاز آبتیابی در سامانه آبیاری قطره‌ای، EC_w شوری آب رودخانه (در دوره تأمین حقاچه) و چاه‌های مزرعه‌ای است. داده‌های کیفی چاه‌های استان طی سال‌های اخیر از شرکت آب منطقه‌ای اصفهان (۲۰۱۸) دریافت شد. بر اساس اطلاعات دریافت شده، کاهش بارش در نواحی شرقی استان و قطع جریان دائمی زاینده‌رود، موجب افزایش شوری آب چاه‌های کشاورزی (EC_w) و شوری عصاره اشباع خاک (EC_e) از مرکز به شرق شده است (کمترین مقدار شوری خاک مربوط به فریدون‌شهر و داران با ۰/۳۴ و ۰/۳۷ دسی‌زیمنس بر متر و بیشترین مقدار شوری خاک مربوط به کیوت‌آباد با ۱/۶ ± ۵/۴ دسی‌زیمنس بر متر).

$$\text{if } LR < 0.1, dg = \frac{dn}{Ea} \quad (11)$$

$$\text{if } LR > 0.1, dg = \frac{0.9 \times dn}{Ea \times (1 - LR)} \quad (12)$$

که در این روابط، dg عمق ناخالص آبیاری، dn نیاز خالص آبیاری به دست آمده از مدل و Ea کارایی آبیاری است که در سامانه بارانی برابر ۰/۵۵ و در سامانه قطره‌ای برابر ۰/۸۵ لحاظ شد. در نهایت، بهره‌وری آب (WPC) با استفاده از رابطه (۱) برای دو هیبرید SC606 و SC704 محاسبه شد. بهره‌وری آب آبیاری (WPI) نیز با استفاده از رابطه (۲) برای سامانه‌های آبیاری بارانی (WP_{isp}) و قطره‌ای (WP_{ldr}) به طور مجزا محاسبه گردید.

آب آبیاری: با توجه به شرایط منطقه، منابع آبی زراعی شامل آب رودخانه (در دوره تأمین حقاچه) و چاه‌های مزرعه‌ای است. داده‌های کیفی چاه‌های استان طی سال‌های اخیر از شرکت آب منطقه‌ای اصفهان (۲۰۱۸) دریافت شد. بر اساس اطلاعات دریافت شده، کاهش بارش در نواحی شرقی استان و قطع جریان دائمی زاینده‌رود، موجب افزایش شوری آب چاه‌های کشاورزی (EC_w) و شوری عصاره اشباع خاک (EC_e) از مرکز به شرق شده است (کمترین مقدار شوری خاک مربوط به فریدون‌شهر و داران با ۰/۳۴ و ۰/۳۷ دسی‌زیمنس بر متر و بیشترین مقدار شوری خاک مربوط به کیوت‌آباد با ۱/۶ ± ۵/۴ دسی‌زیمنس بر متر). به منظور بررسی تاثیر شوری آب بر عملکرد، بهره‌وری آب و بهره‌وری آب آبیاری، ابتدا ضریب کاهش عملکرد برای ذرت بر اساس شوری عصاره اشباع خاک‌ها محاسبه شد (رابطه ۸) (Keller and Bliesner, 1990):

$$\frac{Y_a}{Y_m} = 1 - \frac{b}{100} (EC_e - EC_{e\text{-threshold}}) \quad (8)$$

که در این رابطه، Y_a عملکرد ذرت در شرایط واقعی شوری، Y_m بیشینه عملکرد شبیه‌سازی شده زمانی که EC_e < EC_{e-threshold}. میانگین شوری عصاره اشباع (dS m⁻¹)، EC_{e-threshold} شوری عصاره اشباع بدون کاهش عملکرد و b نسبت درصد کاهش عملکرد با افزایش یک واحد شوری است. برای ذرت علوفه‌ای مقدار EC_{e-threshold} برابر ۱/۸ dS m⁻¹ و مقدار b برابر ۱۳/۲ در نظر گرفته شد (Allen et al., 1998). مقدار EC_e نیز بر اساس داده‌های شوری آب آبیاری (EC_w)، با فرض نیاز آبتیابی برابر ۱۵ درصد (LR=0.15)، و با استفاده از رابطه EC_e=1.5 × EC_w محاسبه شد. سپس نیاز آبتیابی بر اساس داده‌های شوری آب چاه هر منطقه، در دو سامانه آبیاری بارانی (رابطه ۹) و قطره‌ای (رابطه ۱۰) محاسبه شد (Keller and Bliesner, 1990):

$$LR_{sp} = \frac{EC_w}{5EC_e - EC_w} \quad (9)$$

$$LR_{dr} = \frac{EC_w}{2(EC_e \text{ max})} \quad (10)$$

که در این روابط، LR_{sp} نیاز آبتیابی در سامانه آبیاری بارانی،

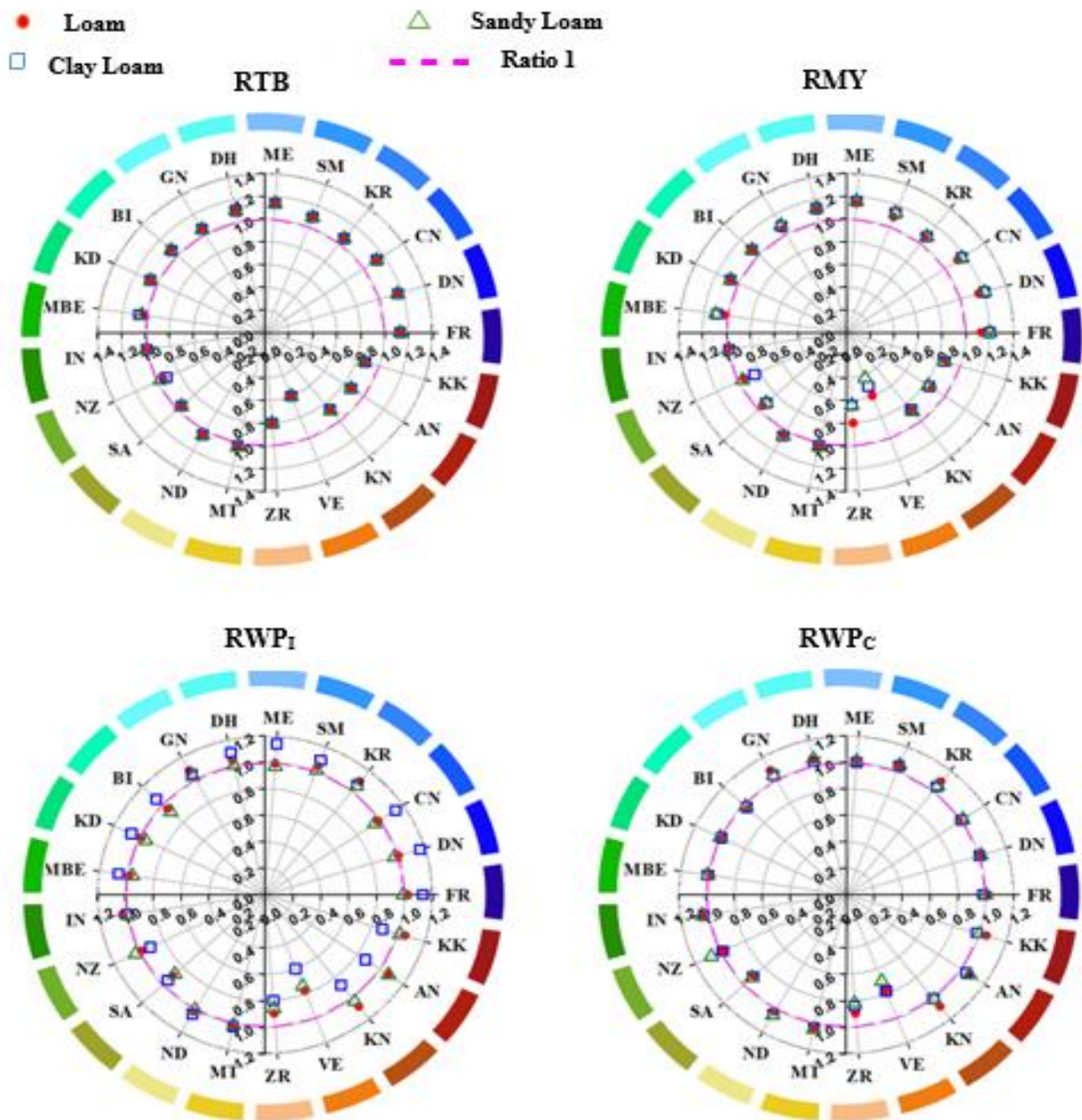
تجزیه و تحلیل آماری

تجزیه و تحلیل نتایج با استفاده از نرم‌افزار SPSS 26.0.0.1 انجام شد و برای مقایسه مقادیر شاخص‌ها با مقدار حداکثر، آزمون T-Test در سطح خطای ۵ درصد مورد استفاده قرار گرفت.

نتایج و بحث

ارزیابی پتانسیل تولید ذرت تحت تاثیر شرایط آب و هوای مناطق (بدون محدودیت آب و خاک)

نسبت بیشینه مقادیر زیست‌توده، عملکرد دانه، بهره‌وری آب و بهره‌وری آب آبیاری به میانگین بیشینه همه ایستگاه‌ها در شکل (۲) نشان داده شده است. نتایج نسبت‌های RTB و RMY نشان داد ایستگاه‌های اصفهان، نطنز، شهرضا، زرین‌شهر، ورزنه، کاشان، اردستان و خورویببانک دارای تولیدی برابر یا کمتر از میانگین استان هستند. بر اساس شاخص RWP_C در خاک با بافت متوسط،



شکل ۲. تغییرات وزن زیست‌توده، عملکرد دانه، بهره‌وری آب و بهره‌وری آب آبیاری تحت تأثیر شرایط اقلیمی، در سه بافت خاک لوم‌شنی، لوم و لوم رس برای ۲۱ ایستگاه هواشناسی مورد مطالعه

Fig. 2. Variations of biomass weight, grain yield, water productivity, and irrigation water productivity under different climatic conditions across three soil textures (sandy loam, loam, and clay loam) for the 21 meteorological stations studied

مزارع ذرت در استان، ایستگاه‌های فریدون‌شهر، داران، چادگان، خوانسار، میمه، گلپایگان، کبوترآباد، نجف‌آباد و زرین‌شهر، به‌عنوان مناطق مستعد کشت ذرت برای مرحله بعد انتخاب شدند تا پتانسیل تولید و بهره‌وری آب با شرایط واقعی خاک‌رخ‌های هر

مقادیر نسبت به‌دست‌آمده در ایستگاه‌های فریدون‌شهر، شهیدبهبشتی، کبوترآباد و خورویبانک در بازه ۰/۹۸ تا ۱ قرار داشت، درحالی‌که شهرضا، زرین‌شهر و ورزنه مقادیر کمتر از ۰/۹۵ را نشان دادند. در نهایت، با توجه به این نسبت‌ها و پراکنش

منطقه و هیبرید واسنجی شده در منطقه ارزیابی شود.

ارزیابی پتانسیل تولید ذرت تحت تأثیر شرایط آب و هوا و خاک رخ مناطق (بدون محدودیت کیفی آب)

بازه کلی تاریخ کشت هیبرید SC606 در مناطق مورد بررسی از ۱۸ خرداد تا ۶ مرداد، و برای هیبرید SC704 از ۱۹ اردیبهشت تا ۶ مرداد به دست آمد. با هدف دستیابی به بیشینه عملکرد، بهره‌وری آب و بهره‌وری آب آبیاری، تاریخ کشت بازه ده روزه ۱۸ خرداد برای فریدون‌شهر، بازه ده روزه ۲۸ خرداد برای داران، چادگان و میمه، بازه ده روزه ۷ تیر خوانسار، بازه ده روزه ۱۷ تیر گلپایگان و کبوترآباد و بازه ده روزه ۲۷ تیر برای نجف‌آباد و زرین‌شهر به‌عنوان تاریخ کشت بهینه برای هیبرید SC606 تعیین شد. همچنین برای هیبرید SC704، بازه ۲۹ اردیبهشت تا ۸ خرداد در فریدون‌شهر، بازه ۱۰ روزه با شروع ۱۸ خرداد در داران، چادگان و میمه، بازه ۱۰ روزه با شروع ۲۸ خرداد در خوانسار، بازه ۱۰ روزه با شروع ۷ تیر در گلپایگان، بازه ۱۰ روزه با شروع ۱۷ تیر در کبوترآباد، بازه ۱۰ روزه با شروع ۲۷ تیر در نجف‌آباد و بازه ۱۷ تیر تا ۲۷ تیر در زرین‌شهر، به‌عنوان بازه تاریخ کشت بهینه تعیین شد.

اطلاعات هواشناسی دوره رشد، همراه با پتانسیل تولید و بهره‌وری آب هیبرید میان‌رس SC606 و هیبرید دیررس SC704، در جدول (۴) گزارش شده است. بر اساس نتایج جدول (۴)، برای هیبرید SC606، کمترین عملکرد در ایستگاه‌های نجف‌آباد و زرین‌شهر مشاهده شد که به‌ترتیب برابر ۶۶ و ۵۵ درصد بیشینه عملکرد شبیه‌سازی شده در سطح استان است. بررسی ارتباط عملکرد ذرت با اقلیم منطقه نشان داد که در ایستگاه‌های با میانگین تشعشع خورشیدی روزانه بیشتر در طی فصل رشد (۲۳/۸، ۲۳/۵، ۲۳/۳ مگاژول بر مترمربع بر روز به‌ترتیب برای چادگان، میمه و داران)، عملکرد بیشتری حاصل شد، درحالی‌که افزایش میانگین دمای بیشینه اثر معکوس بر عملکرد ذرت داشته است. بنابراین جابه‌جایی تاریخ کشت بهینه از خرداد به اوایل مرداد موجب کوتاه‌شدن دوره رشد، کاهش انرژی دریافتی و در

نتیجه کاهش عملکرد ذرت می‌شود. پتانسیل عملکرد ذرت در منطقه مرکزی استان (نجف‌آباد)، تحت تأثیر ویژگی‌های خاک و اقلیم، حدود ۸۷ درصد بیشترین عملکرد شبیه‌سازی شده در ایستگاه‌های فریدون‌شهر، کبوترآباد و میمه برآورد شد. با توجه به بازه دمایی مطلوب برای فتوسنتز ذرت (۱۶/۵ تا ۳۳ درجه سانتی‌گراد) و پرشدن دانه (۱۶ تا ۲۷ درجه سانتی‌گراد؛ فایل MZCER047.SPE) و نیز میانگین تشعشع دریافتی در فصل رشد، شرایط گرم‌تر شرق و جنوب استان می‌تواند تبخیر-تعرق را افزایش دهد، اما الگوی تشعشع دریافتی و دما در غرب استان بیانگر شرایط مساعدتر برای فتوسنتز و تقاضای تبخیر-تعرق کمتر نسبت به مناطق مرکزی و شرقی است. یافته‌های پیشین کاهش طول دوره رشد و عملکرد در مناطق گرمسیری علی‌رغم تشعشع زیاد را گزارش کرده‌اند (Yang et al., Muchow et al., 1990) و افزایش تشعشع طی دوره رشد را عامل بهبود فتوسنتز و عملکرد ذرت دانسته‌اند (Yang et al., 2021).

میانگین شاخص بهره‌وری آب زیست‌توده خشک ذرت (WPC) در استان برابر ۴/۹۷ کیلوگرم بر مترمکعب برآورد شد. بیشترین مقدار این شاخص در خوانسار برابر 0.01 ± 0.55 کیلوگرم بر مترمکعب و کمترین مقدار آن در زرین‌شهر برابر 0.22 ± 0.44 کیلوگرم بر مترمکعب به‌دست آمد. دمای زیاد و ویژگی‌های نامطلوب خاک از عوامل اصلی کاهش بهره‌وری آب محسوب می‌شوند؛ به‌طوری‌که افزایش دما ضمن کاهش عملکرد، تبخیر-تعرق را تشدید کرده و در نتیجه، به‌ویژه در نواحی شرقی استان، موجب کاهش شاخص بهره‌وری آب می‌گردد.

در هیبرید دیررس SC704، بیشترین مقادیر پتانسیل تولید زیست‌توده در ایستگاه‌های داران (۲۴/۹ تن در هکتار)، فریدون‌شهر (۲۴/۶ تن در هکتار) و میمه (۲۴/۲ تن در هکتار) مشاهده شد. مقادیر پتانسیل عملکرد در ایستگاه‌های خوانسار و گلپایگان به‌ترتیب برابر ۲۱/۷ و ۲۳/۱ تن در هکتار محاسبه گردید، در حالی‌که در نجف‌آباد و زرین‌شهر مقادیر پتانسیل عملکرد کمتر از ۱۹/۳ تن در هکتار به‌دست آمد. به نظر می‌رسد کاهش عملکرد در این مناطق ناشی از کاهش میانگین انرژی

جدول ۴. اطلاعات آب و هوایی در طول دوره رشد، پتانسیل بیشینه عملکرد و بهره‌وری آب هیبرید میان‌رس SC606 و هیبرید دیررس SC704 در ایستگاه‌های هواشناسی منتخب استان

Table 4. Climatic data during the growing period, maximum potential yield, and crop water productivity of the mid-maturing hybrid SC606 and the late-maturing hybrid SC704 at selected meteorological stations in the province

نام ایستگاه Station name									پارامتر Parameter	هیبرید ذرت Maize hybrid
ZR	ND	KD	GN	ME	KR	CN	DN	FR		
۳۲/۶	۳۰/۳	۳۳/۰	۲۹/۶	۳۰/۵	۲۶/۵	۲۸/۸	۲۸/۲	۲۶/۳	میانگین دمای بیشینه در دوره رشد (°C)	SC606
									Mean maximum temperature during the growing period (°C)	
۱۳/۷	۱۴/۵	۱۳/۵	۱۵/۴	۱۲/۶	۱۴/۵	۱۳/۳	۱۲/۷	۱۲/۴	میانگین دمای کمینه در دوره رشد (°C)	
									Mean minimum temperature during the growing period (°C)	
۲۲/۳	۲۱/۱	۲۲/۷	۲۱/۱	۲۳/۵	۲۰/۱	۲۳/۸	۲۳/۳	۲۲/۴	میانگین انرژی دریافتی در دوره رشد (MJ m ⁻² d ⁻¹)	
									Mean energy reception during the growing period (MJ m ⁻² d ⁻¹)	
۲۰/۰	۲۲/۶	۲۴/۲	۲۴/۳	۲۶/۱	۲۴/۳	۲۴/۴	۲۶/۲	۲۵/۸	عملکرد زیست‌توده (ton ha ⁻¹)	SC704
									Biomass yield (ton ha ⁻¹)	
۴/۴	۴/۹	۴/۶	۵/۳	۴/۹	۵/۵	۴/۹	۵/۰	۵/۱	بهره‌وری آب (kg m ⁻³)	
									Water productivity (kg m ⁻³)	
۳۲/۶	۳۰/۳	۳۳/۰	۳۰/۰	۳۰/۵	۲۶/۷	۲۸/۶	۲۸/۱	۲۵/۵	میانگین دمای بیشینه در دوره رشد (°C)	SC704
									Mean maximum temperature during the growing period (°C)	
۱۳/۷	۱۴/۵	۱۳/۵	۱۵/۷	۱۲/۶	۱۴/۶	۱۳/۱	۱۲/۶	۱۱/۸	میانگین دمای کمینه در دوره رشد (°C)	
									Mean minimum temperature during the growing period (°C)	
۲۲/۳	۲۱/۱	۲۲/۷	۲۱/۴	۲۳/۸	۲۰/۵	۲۴/۴	۲۳/۸	۲۲/۷	میانگین انرژی دریافتی در دوره رشد (MJ m ⁻² d ⁻¹)	
									Mean energy reception during the growing period (MJ m ⁻² d ⁻¹)	
۱۷/۲	۱۹/۳	۲۰/۸	۲۳/۱	۲۴/۲	۲۱/۷	۲۳/۸	۲۴/۹	۲۴/۶	عملکرد زیست‌توده (ton ha ⁻¹)	SC704
									Biomass yield (ton ha ⁻¹)	
۳/۷	۴/۱	۴/۰	۴/۴	۴/۱	۴/۴	۴/۰	۴/۰	۳/۹	بهره‌وری آب (kg m ⁻³)	
									Water productivity (kg m ⁻³)	

دریافتی روزانه طی دوره رشد، وقوع دماهای بیشینه زیاد و یا نامناسب بودن طول دوره رشد برای تکمیل چرخه فنولوژیک گیاه است. بیشترین مقادیر شاخص بهره‌وری آب در ایستگاه‌های خوانسار (۴/۴۵ کیلوگرم بر متر مکعب) و گلپایگان (۴/۴۳ کیلوگرم بر متر مکعب) و کمترین مقدار در زرین‌شهر (۳/۷۵ کیلوگرم بر متر مکعب) به دست آمد.

- ارزیابی پتانسیل تولید تحت تأثیر شرایط آب‌وهوا، خاک- رخ و شوری واقعی آب چاه (با محدودیت کیفی آب)

نتایج شبیه‌سازی اثر شوری بر اساس اطلاعات شوری خاک‌رخ نشان داد که عملکرد هیبرید SC606 در کبوترآباد، نجف‌آباد، گلپایگان و زرین‌شهر به ترتیب ۳۸/۹، ۴۱/۱، ۲۶/۱ و ۱۶/۲ درصد کاهش یافت. در این شرایط، میانگین بهره‌وری آب در مناطق مرکزی و شرقی ۳/۴۲ و در مناطق غربی ۵/۰۶ کیلوگرم بر مترمکعب برآورد شد. در مقابل، نتایج شبیه‌سازی اثر شوری بر اساس تبدیل شوری آب چاه به شوری عصاره اشباع خاک نشان داد که عملکرد در کبوترآباد، زرین‌شهر، نجف‌آباد و گلپایگان به میزان ۷۵/۶، ۵۲/۷، ۱۲/۵ و ۱۰/۴ درصد کاهش یافت. در این شرایط میانگین بهره‌وری آب در مناطق مرکزی و شرقی ۲/۶۶ کیلوگرم بر مترمکعب برآورد شد. در هیبرید SC704 نیز نتایج شبیه‌سازی الگوی مشابهی را نشان داد؛ به طوری که بر اساس اطلاعات شوری خاک‌رخ، کاهش عملکرد در کبوترآباد، نجف‌آباد، گلپایگان و زرین‌شهر به ترتیب ۴۶/۷، ۴۱/۱، ۲۸/۱ و ۲۷/۷ درصد، و میانگین بهره‌وری آب در مناطق مرکزی و شرقی، و غربی به ترتیب برابر ۳/۰۹ و ۴/۰۸ کیلوگرم بر مترمکعب برآورد شد. همچنین در شرایط محاسبه شوری عصاره اشباع خاک بر اساس شوری آب چاه، کاهش عملکرد در کبوترآباد، زرین‌شهر، نجف‌آباد و گلپایگان به ترتیب ۷۸/۷، ۵۹/۴، ۲۵/۵ و ۱۴/۸ درصد و بهره‌وری آب در مناطق مرکزی و شرقی به‌طور میانگین برابر ۲/۲۷ کیلوگرم بر مترمکعب بود (جدول ۵).

با توجه به اهمیت استفاده بهینه از منابع آب، گزینش سامانه آبیاری نوین مناسب می‌تواند در بهبود بهره‌وری آب آبیاری مؤثر

باشد. بر این اساس، با استفاده از داده‌های شوری عصاره اشباع، نیاز آبتوی و عمق آبیاری برآورد شد. سپس بهره‌وری آب آبیاری در سامانه‌های بارانی (WP_{ISP}) و قطره‌ای (WP_{IDR}) برای هیبریدهای SC606 و SC704 در مناطق مورد بررسی محاسبه گردید. نتایج نشان داد که در مناطق انتخاب‌شده برای کشت، سامانه آبیاری قطره‌ای نسبت به سامانه بارانی موجب افزایش بهره‌وری آب آبیاری می‌شود. در هر دو هیبرید میان‌رس و دیررس، بیشترین بهره‌وری آب آبیاری در خوانسار ثبت شد (مقادیر WP_{IDR} برابر ۴/۸۶ و ۳/۹۱؛ مقادیر WP_{ISP} برابر ۳/۱۴ و ۲/۵۳ کیلوگرم بر متر مکعب). همچنین در فریدون‌شهر و داران، مقادیر بهره‌وری آب آبیاری قطره‌ای به ترتیب ۳/۷۹ و ۲/۹۸ و نیز ۳/۶۵ و ۲/۸۹ کیلوگرم بر مترمکعب، برای هیبریدهای میان‌رس و دیررس به دست آمد. در مجموع، مدیریت آبیاری قطره‌ای با فواصل کوتاه آبیاری و عمق آب کم، برای مناطق غربی مناسب کشت ذرت، راهبردی کارآمد برای افزایش تولید به ازای آب مصرفی است.

نتیجه‌گیری

نتایج شبیه‌سازی اقلیمی نشان داد مناطق شرقی، بخش‌هایی از نواحی مرکزی و جنوبی استان اصفهان، با دمای بیشینه بیشتر از ۴۰ درجه سلسیوس و بارش کمتر از ۶۰ میلی‌متر، پتانسیل تولید و بهره‌وری آب کمتر از میانگین استانی دارند. نتایج شبیه‌سازی تحت ترکیب شرایط آب‌وهوا و بافت خاک نشان داد مناطق غربی و بخش‌هایی از نواحی مرکزی استان، با تشعشع خورشیدی بیش از ۲۵ مگاژول بر متر مربع بر روز، دامنه دمایی ۱۲ تا ۲۸ درجه سلسیوس طی دوره رشد ذرت و بافت خاک متوسط، استعداد بیشتری برای تولید پتانسیل عملکرد علوفه‌ای در هر دو هیبرید SC606 و SC704 دارند. همچنین در این مناطق، میانگین شاخص بهره‌وری آب زیست‌توده برای هیبریدهای SC606 و SC704 به ترتیب برابر ۴/۹۷ و ۴/۰۷ کیلوگرم بر متر مکعب بود. علاوه بر اثر انرژی تشعشعی و دما، افزایش شوری آب در نواحی مرکزی و شرقی، موجب کاهش عملکرد و بهره‌وری آب بیشتر

جدول ۵. مقایسه مقادیر پتانسیل عملکرد زیست توده و بهره‌وری آب با عملکرد کاهش یافته در شرایط استفاده از آب چاه برای هیبرید SC606 و SC704 در ایستگاه‌های هواشناسی منتخب استان

Table 5. Comparison of potential biomass yield and crop water productivity with the reduced yield under well water irrigation conditions for hybrids SC606 and SC704 at selected meteorological stations in the province

بهره‌وری آب در شرایط استفاده از آب چاه (kg m ⁻³)		عملکرد زیست توده در شرایط استفاده از آب چاه (ton ha ⁻¹)		پتانسیل بهره‌وری آب (kg m ⁻³) Potential water productivity (kg m ⁻³)	پتانسیل عملکرد زیست توده (ton ha ⁻¹) Potential biomass yield (ton ha ⁻¹)	ایستگاه Station	هیبرید ذرت Maize hybrid
بر اساس تبدیل شوری آب به شوری عصاره اشباع خاک	بر اساس اطلاعات شوری خاک خاک‌رخها	بر اساس تبدیل شوری آب به شوری عصاره اشباع خاک	بر اساس اطلاعات شوری خاک‌رخها				
Based on the conversion of water salinity to soil saturation extract salinity	Based on soil profile salinity data	Based on the conversion of water salinity to soil saturation extract salinity	Based on soil profile salinity data				
۵/۰ ± ۰/۰۷	۴/۹ ± ۰/۰۸	۲۵/۷ ± ۰/۱	۲۵/۷ ± ۰/۰	۵/۰ ± ۰/۰۷	۲۵/۸ ± ۰/۱۱	FR	SC606
۵/۰ ± ۰/۰۷	۵/۰ ± ۰/۰۷	۲۶/۲ ± ۰/۷۱	۲۶/۲ ± ۰/۰	۵/۰ ± ۰/۰۷	۲۶/۲ ± ۰/۷۱	DN	
۴/۹ ± ۰/۰۴	۴/۹ ± ۰/۰۴	۲۴/۴ ± ۰/۰۶	۲۴/۴ ± ۰/۰	۴/۹ ± ۰/۰۴	۲۴/۴ ± ۰/۰۶	CN	
۵/۵ ± ۰/۰	۵/۵ ± ۰/۰	۲۴/۳ ± ۰/۰	۲۴/۳ ± ۰/۰	۵/۵ ± ۰/۰	۲۴/۳ ± ۰/۰	KR	
۴/۸ ± ۰/۰۴	۴/۸ ± ۰/۰۱	۲۵/۹ ± ۰/۱۸	۲۶/۱ ± ۰/۰۱	۴/۹ ± ۰/۰	۲۶/۱ ± ۰/۱۱	ME	
۴/۷ ± ۰/۰۹۷	۳/۸ ± ۱/۹۱	۲۱/۸ ± ۴/۱۳	۱۷/۹ ± ۹/۴۳	۵/۳ ± ۰/۲۰	۲۴/۳ ± ۰/۰	GN	
۱/۱ ± ۱/۰۸	۳/۱ ± ۱/۷۷	۵/۹ ± ۵/۴۴	۱۴/۸ ± ۹/۹۳	۴/۶ ± ۰/۳۳	۲۴/۲ ± ۰/۰	KD	
۴/۵ ± ۰/۳۵	۳/۰ ± ۱/۷۶	۱۹/۷ ± ۱/۲۷	۱۳/۳ ± ۷/۶۹	۴/۹ ± ۰/۰۹	۲۲/۶ ± ۰/۷۳	ND	
۲/۳ ± ۱/۶۰	۴/۱ ± ۱/۲۶	۹/۵ ± ۶/۸۷	۱۶/۷ ± ۵/۶۷	۴/۴ ± ۰/۲۲	۲۰/۰ ± ۰/۸۳	ZR	
۳/۹ ± ۰/۰۴	۳/۹ ± ۰/۰۴	۲۴/۶ ± ۰/۰۱	۲۴/۶ ± ۰/۰۱	۳/۹ ± ۰/۰۴	۲۴/۶ ± ۰/۰۷	FR	SC704
۴/۰ ± ۰/۰۴	۴/۰ ± ۰/۰۴	۲۴/۹ ± ۰/۰۴	۲۴/۹ ± ۰/۰۴	۴/۰ ± ۰/۰۴	۲۴/۹ ± ۰/۰۴۶	DN	
۴/۰ ± ۰/۰۲	۴/۰ ± ۰/۰۲	۲۳/۸ ± ۰/۰۱	۲۳/۸ ± ۰/۰۱	۴/۰ ± ۰/۰۲	۲۳/۸ ± ۰/۰۵	CN	
۴/۴ ± ۰/۰۱	۴/۴ ± ۰/۰	۲۱/۷ ± ۰/۰	۲۱/۷ ± ۰/۰	۴/۴ ± ۰/۰	۲۱/۷ ± ۰/۰	KR	
۴/۱ ± ۰/۰۳	۴/۱ ± ۰/۰۱	۲۴/۰ ± ۰/۱۷	۲۴/۲ ± ۰/۰۹	۴/۱ ± ۰/۰۱	۲۴/۲ ± ۰/۰۹	ME	
۳/۹ ± ۰/۰۸۰	۳/۵ ± ۱/۷۰	۲۰/۷ ± ۳/۹۳	۱۷/۵ ± ۹/۲۰	۴/۴ ± ۰/۱۵	۲۳/۱ ± ۰/۰۱	GN	
۱/۰ ± ۰/۰۹۲	۲/۶ ± ۱/۵۲	۵/۰ ± ۴/۶۷	۱۲/۷ ± ۸/۵۱	۳/۹ ± ۰/۲۸	۲۰/۸ ± ۰/۰	KD	
۳/۹ ± ۰/۰۱۸	۳/۰ ± ۱/۷۶	۱۶/۸ ± ۰/۵۴	۱۳/۳ ± ۷/۶۹	۴/۱ ± ۰/۰۷	۱۹/۳ ± ۰/۰۲	ND	
۱/۹ ± ۱/۳۷	۳/۶ ± ۱/۰۸	۸/۱ ± ۵/۸۵	۱۴/۴ ± ۴/۸۰	۳/۷ ± ۰/۱۹	۱۷/۲ ± ۰/۰	ZR	

اعداد به صورت میانگین ± انحراف معیار گزارش شده‌اند.

Data are reported as mean ± standard deviation (SD).

شد، به طوری که در کبوترآباد بیش از ۵۰ درصد کاهش عملکرد مشاهده گردید. صنعتی و غیرانتفاعی دریافت نشده است.

تضاد منافع

نویسندگان مقاله اذعان دارند هیچ گونه تضاد منافی با شخص، شرکت یا سازمانی برای این پژوهش ندارند.

تشکر و سپاسگزاری

در انجام این پژوهش، حمایت مالی خاصی از مؤسسات عمومی،

References

منابع مورد استفاده

1. Adnan, A.A., Jibrin, J.M., Kamara, A.Y., Abdulrahman, B.L., Shaibu, A.S., Garba, I.I., 2017. CERES–Maize model for determining the optimum planting dates of early maturing maize varieties in Northern Nigeria. *Front. Plant Sci.* 8, 1118. <https://doi.org/10.3389/fpls.2017.01118>.
2. Agricultural Jihad Organization of Isfahan Province. 2021. Isfahan, Iran. (In Persian)
3. Ahmad, S., Hussain, S., Fatima, Z., Abbas, G., Ur Rehman, A., Khan, M.R., Younis, H., Naz, S., Muhammad, S., Ajmal, M., Abbas, N., Akhtar, M., Rauf, A., Khan, M., Ali, Z., Hassan, M., Rizwan, M., Bajwa, R., Ajmal, A., Hasanuzzaman, M., 2016. Application of DSSAT model for sowing date management of C4 summer cereals for fodder and grain crops under irrigated arid environment. *Pak. J. Life Soc. Sci.* 14(2), 104–114.
4. Ahmaded, M., Ghanbarpouri, M., Egdernezhad, A., 2021. Applied irrigation water of Wheat using sensitivity analysis and evaluation of AquaCrop. *J. Water Manag. Agric.* 8(1), 15–30. <https://doi.org/20.1001.1.24764531.2021.8.1.2.0>. (In Persian with English abstract)
5. Allen, R.G., Pereira, L.S., Raes, D., Smith, M., 1998. FAO Irrigation and drainage paper No. 56. Rome: food and agriculture organization of the United Nations.
6. Bert, F.E., Laciana, C.E., Podestá, G.P., Satorre, E.H., Meléndez, A.N., 2007. Sensitivity of CERES-Maize simulated yields to uncertainty in soil properties and daily solar radiation. *Agric. Syst.* 94(2), 141–150. <https://doi.org/10.1016/j.agry.2006.08.003>
7. Fernández, J.E., Alcon, F., Diaz-Éspejo, A., Hernandez-Santana, V., Cuevas, M.V., 2020. Water use indicators and economic analysis for on-farm irrigation decision: A case study of a super high density olive tree orchard. *Agric. water manag.* 237, 106074. <https://doi.org/10.1016/j.agwat.2020.106074>
8. Gohari, A., Eslamian, S., Mirchi, A., Abedi-Koupai, J., Bavani, A.M., Madani, K., 2013. Water transfer as a solution to water shortage: a fix that can backfire. *J. Hydrol.* 491, 23–39. <https://doi.org/10.1016/j.jhydrol.2013.03.021>.
9. Hammad, H.M., Abbas, F., Ahmad, A., Farhad, W., Anothai, J., Hoogenboom, G., 2018. Predicting water and nitrogen requirements for maize under semi-arid conditions using the CSM–CERES-Maize model. *Eur. J. Agron.* 100, 56–66. <https://doi.org/10.1016/j.eja.2017.10.008>
10. Hoogenboom, G., Jones, J.W., Wilkens, P.W., Batchelor, W.D., Bowen, W.T., Hunt, L.A., Pickering, N.B., Singh, U., Godwin, D.C., Baer, B., Boote, K.J., Ritchie, J.T., White, J.W., 1994. Crop models. In: Tsuji, G.Y., Uehara, G., Balas, S. (Eds.), *DSSAT Version 3.5*. University of Hawaii, Honolulu, Hawaii, pp. 95–244.
11. Hoogenboom, G., Porter, C.H., Boote, K.J., Shelia, V., Wilkens, P.W., Singh, U., White, J.W., Asseng, S., Lizaso, J.I., Moreno, L.P., Pavan, W., Ogoshi, R., Hunt, L.A., Tsuji, G.Y., Jones, J.W., 2019a. The DSSAT crop modeling ecosystem. In: Boote, K. J. (Ed.), *Advances in Crop Modeling for a Sustainable Agriculture*. Burleigh Dodds Science Publishing, Cambridge, United Kingdom, pp. 173–216. DOI: 10.19103/AS.2019.0061.10.
12. Hoogenboom, G., Porter, C.H., Shelia, V., Boote, K.J., Singh, U., White, J.W., Hunt, L.A., Ogoshi, R., Lizaso, J.I., Koo, J., Asseng, S., Singels, A., Moreno, L.P., Jones, J.W., 2019b. Decision Support System for Agrotechnology Transfer (DSSAT) Version 4.7.5. DSSAT Foundation, Gainesville, Florida, USA.
13. Isfahan Agricultural and Natural Resources Research Center. 2018. Soil and Water Research Department. Agricultural Research, Education and Extension Organization (AREEO), Isfahan, Iran. (In Persian)
14. Jha, P.K., Ines, A.V., Singh, M.P., 2021. A multiple and ensembling approach for calibration and evaluation of genetic coefficients of CERES-Maize to simulate maize phenology and yield in Michigan. *Environ. Model. Softw.* 135, 104901. <https://doi.org/10.1016/j.envsoft.2020.104901>.
15. Keller, J., Bliessner, R.D., 1990. *Sprinkler and Trickle Irrigation*. Springer US, New York, USA.
16. Maresma, A., Ballesta, A., Santiveri, F., Lloveras, J., 2019. Sowing date affects maize development and yield in irrigated Mediterranean environments. *Agriculture* 9(3), 67. <https://doi.org/10.3390/agriculture9030067>.

17. Ministry of Agriculture Jihad. 2024. Agricultural Statistics Yearbook 2022-2023, Volume 1: Field Crops, Information and Communication Technology Center, Tehran, Iran [Online]. Available: <https://dpe.maj.ir/uploads/21/2024/Aug/27/AJ1-1401-1402.pdf>. (In Persian)
18. Mohamadzade, F., 2022. Plan of agricultural water management with an emphasis on the increasing water use efficiency of Maize in Isfahan province based on field research and using DSSAT. PhD Thesis, Isfahan University of Technology, Isfahan, Iran. (In Persian with English abstract)
19. Mohamadzade, F., Gheysari, M., Eshghizadeh, H., Tabatabaei, M.S., Hoogenboom, G., 2022. The effect of water and nitrogen on drip tape irrigated silage maize grown under arid conditions: Experimental and simulations. *Agric. Water Manag.* 271, 107821. <https://doi.org/10.1016/j.agwat.2022.107821>.
20. Mozaffari, S., 2015. Improving the Water Use Efficiency of Wheat and Corn Using DSSAT in Mian doab Watershed Basin. MSc Thesis, Isfahan University of Technology, Isfahan, Iran. (In Persian with English abstract)
21. Muchow, R.C., Sinclair, T.R., Bennett, J.M., 1990. Temperature and solar radiation effects on potential maize yield across locations. *Agron. J.* 82(2), 338–343. <https://doi.org/10.2134/agronj1990.00021962008200020017x>.
22. Norooz –Valashedi, R., Bararkhanpour Ahmadi, S., 2026. Projecting the impact of climate change on temperature extreme indices and phenological stages of key agricultural crops in Mazandaran province, Iran. *JSPI.* 17(1), 95–117. <https://doi.org/10.47176/jspi.17.1.21881>. (In Persian with English abstract)
23. Noroozi, M., Chavoshi, E., Ghajar Sepanlou, M., 2023. Evaluation of several empirical salinity-yield models for sorghum plant response to irrigation water and soil salinity. *JSPI.* 14(2), 1–20. <https://doi.org/10.47176/jspi.14.2.08883>. (In Persian with English abstract)
24. Prevey, J., Vellend, M., Ruger, N., Hollister, R.D., Bjorkman, A.D., Myers-Smith, I.H., Elmendorf, S.C., Clark, K., Cooper, E.J., Elberling, B., Fosaa, A.M., Henry, G.H.R., Hoye, T.T., Jonsdottir, I.S., Klanderud, K., Levesque, E., Mauritz, M., Molau, U., Natali, S.M., Oberbauer, S.F., Panchen, Z.A., Post, E., Rumpf, S.B., Schmidt, N.M., Schuur, E.A.G., Semenchuk, P.R., Troxler, T., Welker, J.M., Rixen, C., 2017. Greater temperature sensitivity of plant phenology at colder sites: Implications for convergence across northern latitudes. *Glob. Change Biol.* 23(7), 2660–2671. <https://doi.org/10.1111/gcb.13619>.
25. Regional Water Company of Isfahan Province. 2018. Isfahan, Iran. (In Persian)
26. Ritchie, J.T., 1998. Soil water balance and plant water stress. In: Tsuji, G.Y., Hoogenboom, G., Thornton, P.K. (Eds.), *Understanding options for agricultural production. Systems approaches for sustainable agricultural development.* Springer Netherlands, Dordrecht, pp. 41–54.
27. Rugira, P., Ma, J., Zheng, L., Wu, C., Liu, E., 2021. Application of DSSAT CERES-Maize to identify the optimum irrigation management and sowing dates on improving maize yield in Northern China. *Agronomy.* 11(4), 674. <https://doi.org/10.3390/agronomy11040674>.
28. Soltani, S., Saboohi, R., Yaghmaei, L., 2012. Rainfall and temperatures change within the last 50 years in Isfahan province, Iran. *Theor. Appl. Climatol.* 107(3-4), 529–539. <https://doi.org/10.1007/s00704-011-0484-9>.
29. Xiao, D., Zhang, Y., Bai, H., Tang, J., 2021. Trends and climate response in the phenology of crops in northeast China. *Front. Earth Sci.* 9, 811621. <https://doi.org/10.3389/feart.2021.811621>.
30. Yang, Y., Guo, X., Liu, G., Liu, W., Xue, J., Ming, B., Xie, R., Wang, K., Hou, P., Li, S., 2021. Solar radiation effects on dry matter accumulations and transfer in maize. *Front. Plant Sci.* 12, 727134. <https://doi.org/10.3389/fpls.2021.727134>.
31. Yang, Y., Xu, W., Hou, P., Liu, G., Liu, W., Wang, Y., Zhao, R., Ming, B., Xie, R., Wang, K., Li, S., 2019. Improving maize grain yield by matching maize growth and solar radiation. *Sci. Rep.* 9(1), 3635. <https://doi.org/10.1038/s41598-019-40081-z>.